

Р и с. 5

профиля градиента плотности от исходного состояния и регистрировалась с помощью самописца.

Результаты проведенных исследований показали, что после завершения активной стадии движения длительное время наблюдается отличие вертикального профиля градиента плотности в среде от исходного. Стирание этого отличия происходит медленно, так как определяется процессами медленной адвекции и молекулярной диффузии. На рис. 5 приведены регистрограммы сигналов на выходе вольтметра среднеквадратичного значения при $Re = 1300$ и $Fr = 36,0$ (α) и при $Re = 650$, $Fr = 36,0$ (β). Следует отметить, что отличие вертикального профиля градиента плотности от фонового уровня $\langle u_0^2 \rangle^{1/2}$ наблюдается и при значительно больших временах, чем те, которые прослеживаются на рис. 5. Так, для спутного течения, характеризуемого параметрами $Re = 1300$, $Fr = 18,4$, такое отличие надежно регистрировалось при временах $\sim 5 \cdot 10^3$ с.

Таким образом, использование сканирования узкого лазерного пучка в сочетании с теневыми методами позволяет эффективно изучать динамику плотностной структуры стратифицированных течений. При этом не предъявляется высоких требований к оптическому качеству бассейна и метод является достаточно универсальным.

ЛИТЕРАТУРА

1. Тернер Дж. Эффекты плавучести в жидкости. — М.: Мир, 1977.
2. Гуменник Е. В., Ринкевичюс Б. С. Лазерный сканирующий рефрактометр для теплофизических исследований // ТВТ. — 1985. — Т. 23, № 4.
3. Гуменник Е. В., Евтихьева О. А., Ринкевичюс Б. С., Чашечкин Ю. Д. Совместное использование качественных и количественных рефрактометрических методов // ИФЖ. — 1986. — Т. 50, № 4.
4. Гуменник Е. В., Ринкевичюс Б. С. Использование рефракции сканируемого лазерного пучка для исследования структуры прозрачных неоднородностей // ТВТ. — 1987. — Т. 25, № 6.
5. Oster G. Density gradients // Scient. Amer. — 1965. — V. 212, N 12.
6. Айвазова Л. С., Горбач Т. Я., Кролевец К. М., Савелов В. Н. Четырехэлементные позиционно-чувствительные фотодиоды // Полупроводниковая техника и микроэлектроника. — Киев: Наук. думка, 1966.
7. Mowbray D. E. The use of schlieren and shadowgraph techniques in the study of the flow patterns in density stratified // J. Fluid Mech. — 1967. — V. 27, N 3.
8. Schooley A. H. Wake collapse in a stratified fluid // Science. — 1967. — V. 157, N 3787.
9. Merritt G. E. Wake growth and collapse in stratified flow // AIAA J. — 1974. — V. 12, N 7.

г. Москва

Поступила 15/XI 1988 г.

УДК 533.95:537.84

П. И. Зубков, Л. А. Лукьянчиков, К. А. Тен

УПРАВЛЕНИЕ ТОКОМ ИЗМЕНЯЮЩЕЙСЯ ИНДУКТИВНОСТЬЮ

Ряд авторов [1—3] справедливо отмечают «паразитную» роль индуктивности цепи коммутатора, выводящего энергию из накопителя в нагрузку. Действительно, напряжение на коммутаторе в простейшей электротехнической модели (рис. 1) дается выражением

© 1990 Зубков П. И., Лукьянчиков Л. А., Тен К. А.

$$U_{\text{н}} = U_{\text{н}} + L_{\text{н}} \dot{I}_{\text{н}} - MI - L_{\text{в}} \dot{I}_{\text{в}} = V_{\text{н}} - M \dot{I} - L_{\text{в}} \dot{I}_{\text{в}}.$$

Здесь индексами в и н отмечены величины, относящиеся к цепи выключателя и нагрузки; $L_{\text{в}}$, $L_{\text{н}}$ и M — индуктивности и взаимдукция контуров накопителя и нагрузки; точкой обозначена, как обычно, производная по времени; $U_{\text{в}}$, $U_{\text{н}}$ — в общем случае нелинейные характеристики коммутатора и нагрузки, не связанные с их индуктивностями; $V_{\text{н}}$ — напряжение на нагрузке.

При успешной работе коммутатора $\dot{I}_{\text{в}} < 0$, $\dot{I} < 0$, откуда вытекает, что $U_{\text{в}} \geq V_{\text{н}}$, причем равенство достигается в момент окончания переключения тока. Далее, так как ток в коммутаторе изменяется от максимального до нуля, а в нагрузке от нуля до максимального, из неравенства напряжений следует, что на начальном этапе переключения мощность, рассеиваемая коммутатором, должна превосходить мощность, выделяющуюся в нагрузке, а в некоторых случаях и максимальное ее значение. Таким образом, индуктивность в цепи коммутатора приводит к ужесточению условий его работы. При $M < 0$, что всегда можно выполнить конструктивно в случае индуктивных накопителей энергии, условия работы коммутатора несколько облегчаются. В МК-генераторах это условие не всегда выполнимо.

Так обстоит дело в том случае, когда индуктивность цепи коммутатора постоянна или меняется слабо. При значительном ее изменении картина протекания процесса может быть совсем иной. Переключение тока возможно при этом в силу того, что на изменяющейся индуктивности возникает ЭДС ($\varepsilon = -d(LI)/dt$), позволяющая управлять током. В ВМГ уменьшающаяся индуктивность используется для получения больших токов, магнитных полей и энергий [4—6].

Цель настоящей работы — показать возможность управления током в различных электрических цепях как уменьшающейся, так и возрастающей индуктивностью. Такой способ управления током имеет ряд преимуществ по сравнению, например, с размыкателями. К ним следует отнести отсутствие диссипации (дуга) энергии в среде, нарушающей ее начальные электрофизические свойства, возможность управления током по заранее заданному закону и др.

Остановимся на нескольких простых электротехнических моделях схем, используемых в импульсной энергетике, для получения больших мощностей. При этом не будем касаться причин, вызывающих изменение коммутирующей индуктивности, так как они могут быть разнообразны и в каждом конкретном случае свои. Кроме того, будем пренебрегать джоулевыми потерями, считая проводники идеальными.

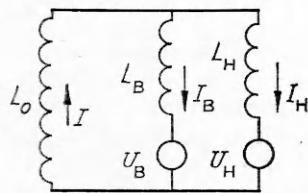
1. Управление током коммутирующей индуктивностью при выводе энергии из накопителя в индуктивную нагрузку рассмотрим по схеме (рис. 1), использованной Кноифелем [7] при демонстрации работы индуктивного накопителя ($U_{\text{в}}$ и $V_{\text{н}} = 0$). В этой схеме $L_{\text{в}}$ — изменяющаяся индуктивность, L_0 и $L_{\text{н}}$ — постоянные индуктивности накопителя и нагрузки, I , $I_{\text{в}}$, $I_{\text{н}}$ — токи в накопителе, в коммутирующей индуктивности и в нагрузке. Уравнения, описывающие изменение токов в цепи, имеют вид

$$(1.1) \quad L_0 \dot{I} + (L_{\text{в}} \dot{I}_{\text{в}}) + M \dot{I}_{\text{н}} = 0, \\ L_{\text{н}} \dot{I}_{\text{н}} - (L_{\text{в}} \dot{I}_{\text{в}}) + M \dot{I} = 0, \quad I = I_{\text{в}} + I_{\text{н}}$$

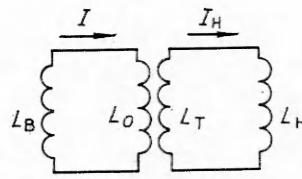
с начальными условиями $L_{\text{в}} = L_{0\text{в}}$, $I = I_{\text{в}} = I_0$, $I_{\text{н}} = 0$. Решением (1.1) будут токи

$$I_{\text{в}} = I_0 \frac{L_{0\text{в}}(L_0 + L_{\text{н}} + 2M) + L_0 L_{\text{н}} - M^2}{L_{\text{в}}(L_0 + L_{\text{н}} + 2M) + L_0 L_{\text{н}} - M^2}, \quad I_{\text{н}} = I_0 \frac{(L_{\text{в}} - L_{0\text{в}})(L_0 + M)}{(L_0 + L_{\text{н}} + 2M)L_{\text{в}} + L_0 L_{\text{н}} - M^2}.$$

При возрастающей коммутирующей индуктивности ($\dot{L}_{\text{в}} > 0$) ток в ней становится малым при $L_{\text{в}} \gg L_0$, $L_{\text{н}}$ и в пределе при $L_{\text{в}} \rightarrow \infty$ $I_{\text{в}} \rightarrow 0$, а ток в нагрузке стремится к своему предельному значению $I_{\text{н}} = I =$



Р и с. 1



Р и с. 2

$= I_0(L_0 + M)/(L_0 + L_H + 2M)$. Энергия, переданная в нагрузку,

$$W_E = W_0 \frac{(L_0 + M)^2}{(L_0 + L_{0B})} \frac{L_H}{(L_0 + L_H + 2M)^2}$$

имеет максимум при $L_H = L_0 + M$, равный

$$W_{H \max} = W_0 \frac{(L_0 + M)^3}{(L_0 + L_{0B})(2L_0 + 3M)^2}$$

(W_0 — накопленная энергия). Это выражение согласуется с приведенным в [7] ($W_H = (1/4)W_0$) при $L_0 \gg L_{0B}$ и M , что всегда можно выполнить конструктивно в индуктивных накопителях энергии.

Рассмотрим мощность, развивающуюся на нагрузке и равную $N_H = L_H I_H \dot{I}_H$. В случае линейно изменяющейся коммутирующей индуктивности ($M \ll L_0, L_H$) она максимальна при

$$L_B = (3/2)L_{0B} + L_0 L_H / [2(L_0 + L_H)]$$

и равна при условии максимальной передачи энергии ($L_H = L_0$)

$$N_{H \max} = \frac{2}{27} \dot{L}_B I_0^2 L_0 / (L_0 + 2L_{0B}).$$

Из этого выражения видно, что даже при $L_0 \gg L_{0B}$ максимальная мощность, выделяющаяся в нагрузке, на порядок оказывается меньше максимальной мощности в коммутирующей индуктивности $N_{B \max} \approx \dot{L}_B I_0^2$.

Характерно, что скорость изменения индуктивности для получения максимальной мощности в индуктивной нагрузке обратно пропорциональна квадрату накопленного тока:

$$\dot{L}_B \approx 13,5 N_{\max} / I_0^2.$$

Максимальное напряжение на нагрузке при $\dot{L}_B > 0$ имеет место в начальный момент времени и равно

$$V_{H \max} = \dot{L}_B I_0 L_H L_0 / [L_{0B} (L_0 + L_H) + L_0 L_H],$$

оно оказывается меньше максимального напряжения на коммутирующей индуктивности ($\sim \dot{L}_B I_0$), и только при малой L_{0B} максимальные напряжения совпадают и определяются накопленным током и скоростью изменения L_B .

Уменьшающаяся коммутирующая индуктивность приводит к увеличению тока в цепи управления, в этом случае ($L_B \rightarrow 0$)

$$I_B = I_0 \frac{L_{0B}(L_0 + L_H + 2M) + L_H L_0 - M^2}{L_0 L_H - M^2}, \quad I_H = -I_0 \frac{L_{0B}(L_0 + M)}{L_0 L_H - M^2}.$$

Энергия в нагрузке

$$W_H = \frac{1}{2} I_H I_H^2 = W_0 \frac{L_H L_{0B}^2 (L_0 + M)^2}{(L_0 + L_{0B})(L_0 L_H - M^2)^2}$$

может значительно превосходить начальную энергию W_0 при сильной связи контуров, когда $L_0 L_H \sim M^2$, и при слабой связи, если $L_{0B} \gg L_H$ и L_0 . В обоих случаях энергия поставляется за счет работы по уменьшению индуктивности L_B . В первом случае ($M^2 \sim L_0 L_H$) работа производится в большом поле, во втором — на большом пути.

2. Рассмотрим трансформаторную схему передачи энергии в индуктивную нагрузку (рис. 2). Уравнения, описывающие изменение токов,

запишем в виде

$$(2.1) \quad (L_B \dot{I}) + L_0 \dot{I} + M \dot{I}_H = 0, \\ L_T \dot{I}_H + L_H \dot{I}_H + M \dot{I} = 0$$

с начальными условиями $I = I_0$, $I_H = 0$, $L_B = L_{0B}$. Обозначения входящих в уравнения величин ясны из рис. 2. Здесь связь катушек в трансформаторе сильная, а взаимодействием контуров пренебрегается, тогда решением системы (2.1) будут токи

$$I = I_0 \frac{L_{0B}(L_T + L_H) + L_0 L_H}{L_B(L_T + L_H) + L_0 L_H}, \quad I_H = I_0 \frac{M(L_B - L_{0B})}{L_B(L_T + L_H) + L_0 L_H}.$$

Ток I и энергия в накопителе стремятся к нулю при $L_B \rightarrow \infty$, а энергия в нагрузке — к значению $W_H = W_0 L_H M^2 / [(L_0 + L_{0B})(L_T + L_H)^2]$, имеющему максимум при $L_H = L_T$ и равному $W_{H \max} = (1/4) W_0 M^2 / [(L_0 + L_{0B}) L_T]$. При $L_0 \gg L_{0B}$ и $M^2 \approx L_0 L_T$ энергия, переданная во вторичный контур, $(1/2) W_0$.

Мощность, развиваемая в индуктивности нагрузки при линейно меняющейся L_B , имеет максимум при $L_B = (3/2) L_{0B} + L_0 L_H / [2(L_T + L_H)]$ и при условии максимальной передачи энергии и $L_0 \gg L_{0B}$ равна $N_{H \max} = \frac{1}{16} \dot{L}_B I_0^2$. Как и в первом примере, она более чем на порядок меньше максимальной мощности в коммутаторе.

Напряжение на нагрузке

$$V_H = I_0 \dot{L}_B M L_H \frac{L_0 L_H + L_{0B}(L_T + L_H)}{(L_B(L_T + L_H) + L_0 L_H)^2}$$

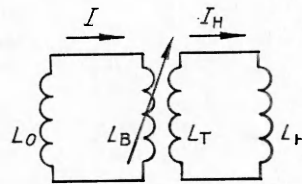
оказывается максимальным в начальный момент времени, и при наложенных выше ограничениях на параметры цепи его максимальное значение $V_{H \max} = \dot{L}_B I_0 \sqrt{L_T / L_0}$ может существенно превосходить при $L_T \gg L_0$ максимальное значение напряжения $\dot{L}_B I_0$ на коммутирующей индуктивности. Максимальное же значение тока достигается при $L_H = 0$ и равно $I_0 \sqrt{L_0 / L_T}$. При убывающей коммутирующей индуктивности ($\dot{L}_B < 0$) максимальное значение мощности и напряжения на нагрузке достигаются при $L_B \rightarrow 0$, их предельные значения следующие:

$$N_{H \max} = I_0^2 \left| \dot{L}_B \right| \frac{L_{0B} L_T}{L_0 L_H} \left[1 + \frac{L_{0B}(L_T + L_H)}{L_0 L_H} \right], \\ V_{H \max} = I_0 \left| \dot{L}_B \right| \sqrt{\frac{L_T}{L_0}} \left[1 + \frac{L_{0B}(L_T + L_H)}{L_0 L_H} \right].$$

Энергия, переданная в нагрузку, при $L_{0B} \gg L_0$ равная $W_H = W_0 L_{0B} L_T / (L_0 L_H)$, может значительно превосходить начальную, накопленную в первом контуре. Формально $W_H \rightarrow \infty$ при $L_H \rightarrow 0$. Сильно возрастающее значение W_H по сравнению с W_0 связано с большей работой по уменьшению L_{0B} в сильном поле.

В рассмотренных примерах при увеличивающейся индуктивности коммутатора, если считать системы замкнутыми, приблизительно половина запасенной вначале энергии переходит в кинетическую энергию движущихся проводников. Поэтому мы считаем возможным вывод энергии из накопителя в нагрузку за счет части накопленной энергии, предоставив коммутирующей индуктивности развиваться в нужном направлении под действием электромагнитных сил.

3. Динамическая трансформаторная передача энергии может осуществляться по схеме (рис. 3), в которой коммутирующая ин-



Р и с. 3

дуктивность является первичной обмоткой трансформатора. Уравнения, описывающие изменение токов в системе, представим в виде $L_0 \dot{I} + (L_B \dot{I}) + (M \dot{I}_H) = 0$, $(L_T + L_H) \dot{I}_H + (M \dot{I}) = 0$ с начальными условиями $I_H = 0$, $I = I_0$, $L_B = L_{0B}$ и $M = M_0$; решением их будут токи

$$I_H = I_0 \frac{M_0(L_0 + L_B) - M(L_0 + L_{0B})}{(L_0 + L_H)(L_T + L_H) - M^2}, \quad I = I_0 \frac{(L_T + L_H)(L_0 + L_{0B}) - M M_0}{(L_0 + L_B)(L_T + L_H) - M^2}.$$

Увеличение индуктивности L_B может носить различный характер, при этом имеют место случаи, когда k в процессе изменения L_B остается постоянным ($k \approx 1$), уменьшается ($k \rightarrow 0$) или возрастает от нуля до $k \approx 1$.

При $k = 1$ токи I_H и I обращаются в нуль при $L_B = L_0^2/L_{0B}$ и $L_B = [(L_0 + L_{0B})^2/L_{0B}] (1 + L_H/L_T)$ соответственно, т. е. неодновременно. Для I_H это наблюдается при $L_{0B} < L_0$. Одновременное обращение их в нуль приводит к прекращению процесса, что возможно, когда $L_H = 0$ и $L_{0B} \ll L_0$. Энергия электромагнитного поля, сосредоточенная вначале практически полностью в L_0 , становится равной нулю. Если система замкнута, то накопленная вначале энергия в первом контуре переходит полностью в кинетическую энергию движущихся масс увеличивающейся индуктивности. Характерно, что переход полностью завершается при достижении индуктивностью L_B конечного значения, равного L_0^2/L_{0B} . Если бы контур был свободен ($L_T = 0$), то переход электромагнитной энергии взаимодействия токов в кинетическую осуществлялся бы до $L_B \rightarrow \infty$. Это различие обусловлено значительно большими электромагнитными силами в присутствии трансформатора, препятствующего убыванию тока с ростом L_B . Описанная ситуация может быть использована при электромагнитном метании тел.

При указанных индуктивностях L_B токи меняют знак, и при $L_B \rightarrow \infty$ ток в нагрузке стремится к предельному $I_{HP} = I_0 M_0 / L_H$, а энергия во вторичном контуре — к $W = W_0 M_0^2 (L_T + L_H) / [(L_0 + L_{0B}) L_H^2]$. Ток I после изменения знака вначале растет по абсолютной величине, затем убывает, и в пределе $L_B \rightarrow \infty$ $I = 0$.

В случае $L_{0B} > L_0$ с ростом L_B характер изменения I остается прежним, ток же I_H теперь в нуль не обращается, а стремится к своему предельному значению ($I_H = I_0 M_0 / L_H$).

Формально при $L_H \rightarrow 0$ I_H и W неограниченно возрастают. Это означает, что увеличение коммутирующей индуктивности происходит при совершении работы по сжатию магнитного поля тока в трансформаторе. Характерно, что сжатие поля осуществляется не током, создающим поле, а током в другом контуре.

В тех случаях, когда коэффициент связи является функцией L_B , анализ процессов затруднителен. Рассмотрим лишь предельные случаи. Пусть $M \rightarrow 0$ при $L_B \rightarrow \infty$. Ток в первичном контуре стремится при этом к нулю, а во вторичном — к значению $I_H = I_0 M_0 / (L_T + L_H)$, энергия — к $W_0 M_0^2 / [(L_T + L_H)(L_0 + L_{0B})]$. Это малая величина при $L_0 \gg \gg L_{0B}$ и сравнима с W_0 при $L_{0B} \gg L_0$ и $L_H \approx 0$.

При $M_0 = 0$ и $k \rightarrow 1$ при возрастании L_B ток I_H растет по абсолютной величине, достигает максимума при $L_B \approx L_0 (L_T + L_H) / L_H$ и уменьшается. Максимальное значение тока формально при $L_H \rightarrow 0$ неограниченно растет.

Уменьшение коммутирующей индуктивности L_B до нуля приводит к предельным значениям токов, равным $I_H = I_0 M_0 / (L_T + L_H)$ и $I = I_0 (L_0 + L_{0B}) / L_0$. Энергия в системе при $L_0 \gg L_{0B}$ оказывается порядка W_0 , а при $L_{0B} \gg L_0$ может существенно превосходить начальную ($\sim L_{0B} / L_0$).

Рассмотренные выше примеры некоторых схем из идеальных проводников позволяют надеяться на возможное удачное использование изменяющейся индуктивности для управления токами в импульсных системах.

ЛИТЕРАТУРА

1. Герасимов Л. С., Искольдский А. М., Нестерихин Ю. В., Пикус В. К. Передача энергии из индуктивного накопителя с помощью электровзрывного размыкателя тока // ПМТФ.— 1975.— № 1.
2. Демидов В. А., Жаринов Е. И., Казаков С. А., Чернышев В. К. Вывод энергии из индуктивных накопителей и взрывомагнитных генераторов в индуктивную нагрузку с помощью разрыва контура // ПМТФ.— 1978.— № 4.
3. Демидов В. А., Жаринов Е. И., Казаков С. А., Чернышев В. К. Вывод энергии из взрывомагнитных генераторов в индуктивную нагрузку с помощью разрыва контура // ПМТФ.— 1979.— № 1.
4. Терлецкий Я. П. Получение сверхсильных магнитных полей путем быстрого сжатия проводящих оболочек // ЖЭТФ.— 1957.— Т. 32, № 2.
5. Биченков Е. И. Взрывные генераторы // ДАН СССР.— 1967.— Т. 174, № 4.
6. Сахаров А. Д., Людаев Р. З., Смирнов Е. И. и др. Магнитная кумуляция // ДАН СССР.— 1965.— № 1.
7. Кнопфель Г. Сверхсильные импульсные магнитные поля.— М.: Мир, 1972.

г. Новосибирск

Поступила 29/XI 1988 г.
